

(HUANJING KEXUE)

ENVIRONMENTAL SCIENCE

第36卷 第4期

Vol.36 No.4

2015

中国科学院生态环境研究中心 主办

科学出版社出版



採 施 静 享 (HUANJING KEXUE)

ENVIRONMENTAL SCIENCE

第36卷 第4期 2015年4月15日

目 次

中美空气质量指数(AQI)对比研究及启示 2013 年 1 月北京市 PM _{2.5} 区域来源解析 2013 年 1 月北京市一次空气重污染成因分析 上海大气总泽浮颗粒物中金属的可溶性特征 RCL表系 PM + DAM + CA	························· 高庆先,刘俊蓉,李文涛,高文康(1141)
2013 年 1 月北京市 PM, 5 区域来源解析	······ 李璇, 聂滕, 齐珺, 周震, 孙雪松(1148)
2013年1月北京市一次空气重污染成因分析	程念亮,李云婷,张大伟, 聂滕,邱启鸿,徐文帅(1154)
上海大气总县浮颗粒物中全属的可溶性特征	
厦门春季 PM ₁₀ 中 PAHs 成分谱特征及其与气象要素相关性分析··	业龄 林曜生 弘工 관档 釉镜出(1172)
厦门住学 FM ₁₀ 中 FANS	和甘 即四小 苔魚 坦则用 若之归 乙百 时以(1102)
硫氧同位素示踪南京北郊大气 PM _{2.5} 中硫酸盐来源 ····································	魏央, 乳照冰, 曷鑫, 祝胜另, 委又娟, 石磊, 陈姝(1182)
结合激光雷达分析 2014 年春季南京地区一次大气污染过程	···················· 包青,贺车亮,查男,程峰,李倩楠(1187)
春季华东高山背景区域 PM _{2.5} 和 PM _{2.5~10} 中水溶性无机离子特征	
	苏彬彬,张智胜,陶俊,许椐洋,纪贤鑫,刘心东,张若宇(1195)
落叶燃烧排放的颗粒物及有机碳、元素碳的研究 四川省秸秆露天焚烧污染物排放清单及时空分布特征 深圳市船舶排放清单与时空特征研究	·····································
四川省秸秆露天焚烧污染物排放清单及时空分布特征	······ 何敏, 王幸锐, 韩丽, 冯小琼, 毛雪(1208)
深圳市船舶推放清单与时空特征研密	杨静 尹佩珍 叶斯琪 王水胜 郑君瑜 区家敏(1217)
招细颗粒通过建筑漆缝的件绘性性	弘
短细秋色通过是巩沃建时尺栅行压 宏调序良古蓝层滚版浓度及 <u>特尔</u> 人大块红	业化办 刃物化 十乙» 工士长 木匠(1224)
全厕内方具图飞俗胶体及及型住ፓ甲特性····································	*************************************
基丁刭乵梞疋囘位系的典工尚原厶卜二仍烝及效应	斩蜕刚, 饭奶牛, 土全公, 木小儿, 重雷, 仕止未, 两树丽(1241)
黄河小浪底水库水沙调控对 DOC 输送的影响	······
	······王苗苗,孙志高,卢晓宁,王伟,王传远(1256)
春季生物作用对山地岩溶池水地球化学特征的影响 于	正良, 杨平恒, 赵瑞一, 李林立, 张琳, 童小容, 罗刚(1263)
降雨期间岩溶城镇区地下河水重金属变化特征及来源解析	·· 任坤, 杨平恒, 江泽利, 王尊波, 师阳, 王凤康, 李晓春(1270)
业江和珠江广州河段水休的三点用煌风险评价	
降雨期间岩溶城镇区地下河水重金属变化特征及来源解析 ······· 北江和珠江广州河段水体的三卤甲烷风险评价 ··········· 丰水期洪湖水质空间变异特征及驱动力分析 ·················	17 忘八,下初四(12/1/) 本目 工私 本业化 工程
十小别供例外灰空间发开付证及驱列刀刀侧	······· 字比,工均,字允平,工件宋,陈红共,天心,不鹏(1263)
三峡库区典型干-支流相互作用过程中的营养盐交换:以梅溪河为	
# 16 11 14 1 1 1 1 1 1 1 1 1 1 1 1 1 1 1	操满, 傅家楠, 周子然, 邓兵, 王雨春, 汪福顺(1293)
营养盐输入对太湖水体中磷形态转化及藻类生长的影响	王睿喆,王沛芳,任凌霄,王超,王颖雪(1301)
一小型藻华池塘浮游植物群落动态及其影响因子研究	··················杨文,朱津永,张克鑫,万莉,陆开宏(1309)
昌黎生杰监控区夏季浮游植物群落年际变化特征分析	
梁晓林.	杨阳,王玉良,张月明,赵志楠,韩晓庆,张鉴认,高伟明(1317)
河道曝气提升河流水质的 WASP 模型研究	朱文博 王洪秀 柳翠 张建 梁爽(1326)
。 每照	提助用 郭昭冰 赵永宣 芭禽 稚苗 阵胜 工籍(1323)
梁晓林,河道曝气提升河流水质的 WASP 模型研究 · · · · · · · · · · · · · · · · · · ·	防台目 化日亚 木海属 化十亚 购购小房 日時(1332)
电化子氢化物及生法处理百块及小及对协的凹收 ··············	····· 陈乐丽, 派国十, 字海段, 刊芯十, 欧阳小当, 天环(1338)
Fe-MCM-41 催化臭氧氧化间甲酚废水 ····································	土业支, 卫星堡, 土森, 李旭丁, 李敏美, 孙承林, 安路阳(1343)
生物阳极及其反转为生物阴极降解氯霉素 308 nm 光作用下 α -Fe Ω 3 表面 HNO3 的光解	······················ 孔德男,梁斌,云慧,土发杰,任南琪(1352)
308 nm 光作用下 α-Fe ₂ O ₃ 表面 HNO ₃ 的光解 ···································	陆军,孙云东,谢晶晶,赵军,邹家骥,朱承驻(1359)
L-组氨酸-赤藓红复合膜修饰电极同时检测对苯二酚、邻苯二酚	······ 何家洪,徐强,丁武泉,李强(1365)
醌基功能型高分子生物载体 (PET-AQS)制备及催化生物反硝化物	导性研究
·····································	晴,侯正浩,田秀蕾,牛春梅,郭延凯,廉静,郭建博(1374)
枯草芽孢杆菌对土臭素和 2-甲基异冰片的降解动力学特性	············ 马念念 罗国芝 谭洪新 姚妙兰 王晓用(1379)
枯草芽孢杆菌对土臭素和 2-甲基异冰片的降解动力学特性 ····································	李静 李文苒(1385)
E.3+对同些码化反码化过程每元麦迁移转化及NO移放的影响	
内循环半短程亚硝化工艺运行条件与微生物群落研究	
	至华,崔丙健,黄迪,曹世超,王云,刘上千,马斌,白志辉(1399)
利用处理含 4-氯苯酚模拟废水的剩余污泥培养普通小球藻	
进水渗滤液总氮和 BOD5/TN 对填埋场反应器反硝化和厌氧氨氧	
重庆金佛山土壤中 PAHs 含量的海拔梯度分布及来源解析 ·······	
湖南攸县典型煤矿和工厂区水稻田土壤镉污染特征及污染途径分	分析 张敏,王美娥,陈卫平,牛俊杰(1425)
沟渠化对三江平原湿地铁元素沉积过程的影响 ····································	苏文辉,于晓菲,王国平,栾金花,邹元春(1431)
施用磷酸盐和沸石对土壤镉形态转化的影响	王秀丽,梁成华,马子惠,韩月(1437)
不同条件下皂苷对污染塿土中 Cu、Pb 的淋洗修复	·· 邓红侠 杨亚莉 李珍 许岩 李荣华 孟昭福 杨亚提(1445)
陕北某化工企业周围污灌区土壤-作物系统重金属积累特征及评价	
有机无机缓释复合肥对不同土壤微生物群落结构的影响	工莊 吉桓 父字宫 工正组(1461)
有观观现象件久口观外的工术顺生物杆洛和构的影响 ····································	和治安 北赵 昆金金 忆主型 拟畸 刀吃串 田十一/1400)
玉米对铅胁迫的响应及体内铅化学形态研究	·· 任
硼锑交互作用对水稻吸收积累锑和硼的影响	
	米琼莉,黄永春,王小玲,乔敏,胡莹,金姝兰,李季,王斐(1474)
丛枝菌根真菌对不同含盐量湿地土壤中芦苇生长的影响	·· 郭江源,郭伟,毕娜,付瑞英,赵文静,赵仁鑫,王立新(1481)
滨海区芦苇和香蒲耐盐碱性及除氮磷效果对比研究	······ 陈友媛, 孙萍, 陈广琳, 王宁宁(1489)
不同温度下的土壤微生物呼吸及其与水溶性有机碳和转化酶的关	泛系 吴静、陈书涛、胡正华、张旭(1497)
不同温度下的土壤微生物呼吸及其与水溶性有机碳和转化酶的关工业 VOCs 经济手段和工程技术减排对比性分析 ····································	王宇飞,刘昌新,程杰,郝郑平,王铮(1507)
《环境科学》征订启事(1216) 《环境科学》征稿简则(1248)	信息(1163.1194.1248.1424)
1 \2011 4 \(\rightarrow\) \(1970.

中美空气质量指数(AQI)对比研究及启示

高庆先1,刘俊蓉1,2,李文涛1,2,高文康3

(1. 中国环境科学研究院气候中心,北京 100012; 2. 甘肃农业大学林学院,兰州 730070; 3. 中国科学院大气物理研究所, 北京 100191)

摘要:对中美两国空气质量指数(AQI),特别是颗粒物分指数进行了对比研究,并利用 2013 年 4 月至 12 月期间,中国环境监测总站发布的环境空气质量监测数据,开展了典型大气污染过程的分析. 结果表明,中国环境空气质量标准的研究、制订和发布起步虽晚但发展很快,所包含的污染物指标更全面,能够客观地反映出中国空气污染的特征,也更贴近居民对空气质量的切身感受;中美计算颗粒物小时 AQI 采用的方法不同,对比发现中国采用颗粒物 24 h 平均浓度限值代替 1 h 平均浓度限值的计算方法会将污染等级倾向于严重化;中国在计算颗粒物 AQI 时设定的颗粒物浓度限值存在一定的问题,导致 AQI < 200时, $PM_{2.5}/PM_{10}$ 的比值出现与实际不符的现象;对奥体中心监测点数据分析显示,AQI < 50 时, $PM_{2.5}/PM_{10}$ 比值小于 0.5,且 $PM_{2.5}/PM_{10}$ 的比值随着污染指数等级的增大而增大.建议尽早修订和调整颗粒物实时报的浓度限值和计算方法.

关键词:空气质量指数;分级浓度限值;环境空气质量标准;PM,5;PM,0

中图分类号: X651 文献标识码: A 文章编号: 0250-3301(2015)04-1141-07 DOI: 10.13227/j. hjkx. 2015. 04. 001

Comparative Analysis and Inspiration of Air Quality Index Between China and America

GAO Qing-xian¹, LIU Jun-rong^{1,2}, LI Wen-tao^{1,2}, GAO Wen-kang³

(1. Center for Climate Change Impact Research, Chinese Research Academy of Environmental Sciences, Beijing 100012, China; 2. College of Forestry, Gansu Agricultural University, Lanzhou 730070, China; 3. Institute of Atmospheric Physics, Chinese Academy of Sciences, Beijing 100191, China)

Abstract: Research on the differences of air quality index (AQI) especially AQI of particulate matters between China and America and analysis of hourly monitored readings from April to December in 2013 released by Environmental Monitoring Station of China indicated that: ① Although China lagged behind America in formulating and publishing of AQI standards, the AQI standards published in 2012 in China covered more pollutant indexes than before and could objectively reflect the characteristics of air pollution in China, and were more close to the residens's feeling about air quality. ②The methods adopted for calculation of particulate matter hourly AQI were different in China and America, and the comparison revealed that the calculation method adopted by China using the 24 h average concentration breakpoint of particulate matters to replace the 1 h average concentration breakpoint would enhance the severity of the pollution level. ③ The breakpoint of PM_{2.5}-24 h in China was less rigorous than that in America when AQI < 200, which led to the inconsistence between the ratio of PM_{2.5}/PM₁₀ and the real situation in China. ④Analysis on the monitoring readings from station of Beijing Olympic Sports Center showed that when AQI < 50, the ratio of PM_{2.5}/PM₁₀ was less than 0.5 and increased with the increasing of AQI. Correction and adjustment of particulate matter real-time calculation method and breakpoints of PM_{2.5} and PM₁₀ were suggested in China.

Key words: air quality index (AQI); breakpoints; ambient air quality standards; PM25; PM10

环境空气质量标准的建立,可以为环境空气质量管理、保护人体健康、维护生态环境安全,促进人与社会、自然和谐可持续发展发挥积极作用^[1,2]. 20 世纪 70 年代,美国最先构建了污染标准指数(pollution standards index, PSI),将多个污染物的信息整合在一个指标体系中,通过发布污染标准指数,指导人们的日常生活行为^[3]. 随后,世界各国基于各自的空气质量状况陆续建立了适合本国特色的空气质量指数发布系统,如中国的 API (air pollution index)和 AQI (air quality index),美国的 PSI 和AQI,英国的每日空气质量指数(daily air quality

index, DAQI), 澳大利亚的区域污染指数(regional pollution index, RPI) 及澳大利亚新南威尔士州的区域环境空气质量指数(regional air quality index, RAQI)等[4].

目前,空气污染成为中国政府部门和普通老百姓关注的热点,很多学者对中国环境空气质量评价进行了相关研究,并提出了目前存在的问题和改进

收稿日期: 2014-09-24; 修订日期: 2014-11-21

基金项目:环境保护公益性行业科研专项(201409027)

作者简介: 高庆先(1962~),男,博士,研究员,主要研究方向为大气 环境与气候变化领域,E-mail:gaoqx@ craes. org. cn 建议^[5-7],但深入开展中国和美国等发达国家空气质量指数间的对比研究尚不多见;在可吸入颗粒物为主要污染因子的情景下,有关 PM_{2.5}在 PM₁₀中所占的比例已有大量研究^[8-12],但大部分是针对中国各城市不同季节、区域和污染源场合等空气污染情景下分析 PM_{2.5}和 PM₁₀浓度的比值关系,缺乏对 AQI标准中设定的 PM_{2.5}和 PM₁₀浓度限值的合理性研究.本研究旨在通过文献调研和实时空气质量监测数据的分析,对中国和美国的空气质量指数(AQI)计算方法进行深入的比较分析,对中国目前 AQI 的现状和存在问题进行剖析,以期为未来中国 AQI 的修订提出意见和建议.

1 资料与方法

1.1 资料

空气污染数据:本研究所用的空气污染数据均来自中国环境监测总站全国城市空气质量实时发布平台 (http://113.108.142.147:20035/emcpublish/)发布的奥体中心监测站逐小时和日平均的 AQI 和各类污染物(SO_2 、 NO_2 、 $PM_{2.5}$ 、 PM_{10} 、 O_3 、CO等)的数据,数据期间为 2013 年 4 月 18 日至 2013 年 12 月 31 日.

中美 AQI 标准和技术规定:中国空气质量标准来自国家环境保护部发布的《环境空气质量标准》(GB 3095-2012)、《环境空气质量指数(AQI)技术规定(试行)》(HJ 633-2012)(下称《规定》);美国标准来自美国环境保护署(EPA)官网(http://www.epa.gov/)发布的一系列标准和技术规范,包括《每日空气质量报告技术帮助文档——空气质量指数(AQI)》、《环境空气质量标准(NAAQS)》、《空气质量指数(AQI)》等.

1.2 方法

本研究首先使用了文献对比分析法,通过文献收集,整理中国和美国空气质量指数及信息发布的发展历程,深入分析和比较中美两国 AQI 相关工作的最新进展,并对其评价指标、污染物项目分级浓度限值进行对比分析;然后基于环境保护部发布的《规定》给出的空气质量分指数(IAQI)和 AQI 计算方法,对环境监测总站在 2013 年 4 月 18 日至 2013年 12 月 31 日期间发布的 AQI 和各类污染物数据进行统计分析,并选取典型空气污染过程,剖析典型大气污染过程颗粒物的特征.

AQI 的计算步骤:① 对照《规定》表 1 中的分级浓度限值分别计算 IAQIp,见式(1);② 依据公式

(1)计算各污染物的 IAQIp,并根据公式(2)选择 IAQIp 的最大值确定为 AQI; ③ 确定空气质量级别、类别及表示颜色、影响与建议措施.

(1) IAQI 计算方法

$$IAQIp = \frac{IAQI_{Hi} - IAQI_{Lo}}{BP_{Hi} - BP_{Lo}} (C_P - BP_{Lo}) + IAQI_{Lo}$$
(1)

式中,IAQIp 指污染物项目 p 的空气质量分指数; C_P 指污染物项目的质量浓度值; BP_H 指《规定》表 1 中与 C_P 相近的污染物浓度限值的高位值; BP_L 。指《规定》的表 1 中与 C_P 相近的污染物浓度限值的低位值; $IAQI_H$ 指《规定》表 1 中与对应的 BP_H 空气质量分指数; $IAQI_L$ 指表 1 中与 BP_L ,对应的空气质量分指数.

(2) AQI 计算方法

$$AQI = \max\{IAQI_1, IAQI_2, IAQI_3, \dots, IAQI_n\}$$
(2)

式中, IAQI 指空气质量分指数; n 指污染物项目.

2 结果与讨论

2.1 中美 AQI 及发布的演变历程

美国是世界上最早使用污染指数综合表征空气 质量的国家,美国环境保护署(EPA)先后发布了 PSI 和 AQI,该指数能够向公众提供及时、准确、易 于理解的城市地区空气质量状况,同时可以用来进 行环境现状评价、回顾性评价和趋势评价,在国际 上有很大的影响力,在世界范围内也得到了广泛的 应用[13]. 中国早在1997 就引进了空气污染指数这 一概念,最初的污染物仅有3个,即SO,、NO,和 TSP,随着研究的深入和人们环境保护意识的提高, 空气质量指数日益受到重视. 表 1 给出了中美两国 空气质量指数的发展历程,从中可以看出,近十几年 来,美国不断对其空气质量指数进行更新,其 AQI 污染物项目和发布时段都发生了很大的变化[4]. 相 比较而言,中国 1982 年颁布实施并于 1996 年修订 且在 2000 年修改的国家环境空气质量标准(GB 3095-1996),在2012年2月29日国家环保部发布 《环境空气质量标准》(GB 3095-2012)[14]和《环境 空气质量指数(AQI)技术规定(试行)》(HJ 633-2012)[15] 后废止.

由表1可见:①中美两国空气质量指数的指标均呈不断增长趋势,中国环境空气质量标准制定得相对较晚,但发展很快;②从美国AQI污染物项目及取值时间发展历程可以看出,美国从一

开始就确定了 NO_2 、CO 和 O_3 等气态污染物浓度 限值及取值时间,相比较而言,中国对 NO_2 、CO、 O_3 的关注较晚; ③ 2012 年以后,中国 AQI 指标在 原来的基础上进行了全面的扩充,24 h 平均浓度 限值中增加了 CO 和 $PM_{2.5}$, 1 h 平均浓度限值中增加了 SO_3 和 NO_3 , 8 h 平均浓度限值中增加了

O₃,指标总量达 10 个,高于美国,排名世界第一,这也充分体现了中国目前复合性污染的特征.中国全面扩充后的污染物指标更加能够客观如实地反映中国空气污染特征,贴近市民对空气质量的切身感受,成为目前及以后中国环境空气质量管理和信息发布的主要方式.

表 1 中美空气质量指数发展历程

Table 1 Development of air quality index in China and America

国家	指数名称	年份	北左粉具	污染物项目及取值时间				
国 豕	指 数名称	平切	指标数量	24 h 平均	1 h 平均	8h平均		
	API	1997 ~ 1999	3	SO_2 , NO_x , TSP				
中国[4, 15]	API	2000 ~ 2011	5	SO_2 , NO_2 , PM_{10}	CO , O_3			
	AQI	2012 至今	10	SO_2 , NO_2 , CO , PM_{10} , $\mathrm{PM}_{2.5}$	SO_2 , NO_2 , CO , O_3	O_3		
	PSI	1971 ~ 1993	5	SO ₂ , TSP	O_3 , NO_2	CO		
美国[16~19]	PSI	1994 ~ 1998	5	SO_2 , PM_{10}	O_3 , NO_2	CO		
大凹	AQI	1999 ~ 2010	7	SO_2 , PM_{10} , $PM_{2.5}$	O_3 , NO_2	CO , O_3		
	AQI	2011 至今	8	SO_2 , PM_{10} , $PM_{2.5}$	O_3 , SO_2 , NO_2	CO, O_3		

2.2 中美 AQI 计算方法比较分析

AQI 的计算是表征一个地区空气质量的关键,对比中美两国 AQI 的技术规范发现,中美两国 AQI 计算公式一致 [见公式(1)和(2)],污染物项目的浓度限值则是根据各国的实际情况设定 [15,16]. 中美两国 AQI 技术规范中 SO_2 、 NO_2 、CO 有 24 h 和 1 h 浓度限值,臭氧 8 h 和 1 h 有浓度限值, $PM_{2.5}$ 和 PM_{10} 只有 24 h 浓度限值而没有 1 h 浓度限值,理论上讲,无法计算得到 $PM_{2.5}$ 和 PM_{10} 的 1 h 分指数,即 AQI 的实时报发布的污染物 IAQI 应只包括 SO_2 、 NO_2 、CO 和 O_3 的信息. 而在实际发布中,中国和美国分别采用不同的方法计算并发布 $PM_{2.5}$ 和 PM_{10} 的分指数,并在各自空气质量信息实时发布平台实时发布颗粒物的 AQI.

2.2.1 美国颗粒物 IAQI 计算方法分析

为给公众提供颗粒物污染的最新信息,美国空气质量信息发布平台(http://www.airnow.gov/)利用从全国各地监测点监测到的细颗粒物(PM_{2.5})的小时数据生成了颜色分级地图,并给出其空气质量指数.为了生成颗粒物的颜色分级地图,美国采用临近预报法(NowCast)计算颗粒物AQI值.NowCast算法步骤如下(表2):①利用最近12 h 监测到的 PM_{2.5}的小时浓度值,计算出其极差;②利用极差算出一个变化率,根据变化率得出表征污染贡献的权重值;③利用该权重值和颗粒物浓度计算出 PM_{2.5}空气质量分指数.该算法能够快速响应变化的空气质量状况,比如火灾期间的天气状况.此外,该算法的改进能够在空气质量

表 2 美国 $PM_{2.5}$ 和 PM_{10} 临近预报(NowCast)计算方法 $^{1)}$

Table 2 NowCast method for computing the concentration of $PM_{2.5}$ and PM_{10} in America

步骤 计算方法 举例说明 计算过去 12 h 颗粒物监测值浓度变化极差,它反 举例: 监测到的 12 h 颗粒物浓度(单位: μg·m⁻³):50、80、75、90、82、53、64、 映了 PM 浓度在过去 12 h 的变化程度: 极差 = 最 74、21、10、16、13. 极差 = $90 - 10 = 80 \, \mu \text{g} \cdot \text{m}^{-3}$ 大浓度值 - 最小浓度值 用极差(80 μg·m⁻³)除以12 h 内浓度最大值(90 80/90 = 0.89μg·m-3)得出过去 12 h 颗粒物浓度的变化率 用1减去变化率得出权重因子,权重因子必须在 0.5~1之间. 如果计算出的权重值小于 0.5,则 权重: 1-0.89 = 0.11, 小于 0.5, 所以权重值为 0.5 取权重值为0.5 以当前时间为零点向前倒推,用12 h的浓度值分 $13 \times (0.5)^{0} + 16 \times (0.5)^{1} + 10 \times (0.5)^{2} + 21 \times (0.5)^{3} + 74 \times (0.5)^{4} + \cdots +$ 别乘以权重值的第n-1次幂,并将其累加求 $\underline{13 \times (0.5)^0 + 16 \times (0.5)^1 + 10 \times (0.5)^2 + 21 \times (0.5)^3 + 74 \times (0.5)^4 + \dots + 50 \times (0.5)^{11}}$ 实时报值等于上述值的和除以权重值0~11次幂 $(0.5)^0 + (0.5)^1 + (0.5)^2 + (0.5)^3 + (0.5)^4 + \cdots + (0.5)^{11}$ = 17.4 $\mu g \cdot m^{-3}$

¹⁾ 数据来源 http://airnow.supportportal.com/link/portal/23002/23002/Article/16118/How-Does-AirNow-Make-the-Current-PM2- 5-Air-Quality-Index-AQI-maps

差时及时提醒公众注意防范;而空气质量优时,提醒公众可以进行户外运动.

2.2.2 中国颗粒物 IAOI 计算方法分析

由于目前发布的技术指南中没有明确给出 PM_{2.5}和 PM₁₀小时 AQI 的计算方法,中国环境监测总站网站上规定"颗粒物 1 h 浓度的 AQI 的分级浓度限值参照 24 h 浓度的 AQI 分级浓度限值".通过对 2013 年 4 月 18 日至 2013 年 12 月 31 日期间北京奥体中心监测站的数据分析,选取 AQI 技术规范表 1^[15]中 PM_{2.5}和 PM₁₀的 24 h 浓度限值计算颗粒物 AQI 值,考虑到目前多数情况下北京地区空气污染的首要污染物是 PM_{2.5}^[20],本研究仅计算了 PM_{2.5} IAQI 分指数并进行对比分析.这里所说的一致性主要是指基于环境监测总站发布的污染物监测数据,利用公式(1)计算得到的 PM_{2.5}空气质量分指数与网上发布的 AQI 的一致程度.这一数据可以反映出目前北京的首要污染物还是以 PM_{2.5}为主这一事实.

表3给出了结果与发布数据的比较以及PM_{2.5}/PM₁₀比值情况.可以看出,在重度和严重污染的情况下,计算与发布的一致性达100%,说明北京奥体中心严重污染和重度污染情况下首要污染物是PM_{2.5};在天气状况为良、轻度污染和中度的污染时一致性分别为68.3%、96.3%和98.6%,在轻度污染和中度污染情况下,北京奥体中心仍有95%以上的情况以PM_{2.5}为首要污染物,在良好天气情况下还有68%的情形是以PM_{2.5}为首要污染物,在代的情况下没有污染物作为首要污染物,故不计算AQI分指数进行一致性分析.从这些数据分析可以看出,目前北京奥体中心首要污染物为PM_{5.5}表3中同

时还给出了不同等级天气情况下 $PM_{2.5}/PM_{10}$ 的值,可见在不同污染等级下 $PM_{2.5}$ 在 PM_{10} 中所占的比例是不一样的,在严重和重度污染情况下,由于 $PM_{2.5}$ 主要来自于二次污染物,导致 $PM_{2.5}$ 占 PM_{10} 的比例高达 90%以上,而在空气质量为优的情况下, $PM_{2.5}$ 仅占 PM_{10} 的 46%.

表 3 2013-04-18~2013-12-31 PM_{2.5} AQI 分 指数一致性分析与 PM_{2.5}与 PM₁₀的比值

Table 3 Consistent analysis of Individual AQI of PM_{2.5} and the ratio of PM_{2.5} to PM₁₀ from 2013-04-18 to 2014-12-31

IAQIPM _{2.5} -	计算与组	发布一致性	$PM_{2.5}/PM_{10}$	
1AQ11 M _{2.5}	时次	一致性/%	比值	有效时次
0 ~ 50	1 699	_	0.46	1 449
51 ~ 100	1 365	68. 3	0.63	1 063
101 ~ 150	879	96. 3	0.75	714
151 ~ 200	469	98. 6	0.81	337
201 ~ 300	626	100	0.86	500
301 ~400	176	100	0.91	143
401 ~ 500	19	100	0.92	13

为了探讨中国实时报中用 24 h 平均替代小时平均计算 PM_{10} 和 $PM_{2.5}$ 空气质量分指数可能会带来的误差,本研究利用《规定》中 SO_2 、 NO_2 和 CO 的 24 h 平均浓度限值代替 1 h 平均浓度限值,分别计算 $IAQI_{SO_2}$ 、 $IAQI_{NO_2}$ 、 $IAQI_{CO}$. 对比分析各污染物 IAQI 可能产生的误差(表 4),从表 4 可以看出: 3 种污染物污染等级会向严重方向偏移,即日均值替代小时值会导致报告的指数偏高. 因此,可以推断出,中国实时报发布的 PM_{10} 和 $PM_{2.5}$ 空气质量指数采用 24 h 平均值代替 1 h 值计算, AQI 污染等级会向严重化方向偏移. 因此,建议中国及时修订和调整 $PM_{2.5}$ 和 PM_{10} 实时报的计算方法,向公众实时发布科学合理的天气污染情况信息.

表 4 SO_2 、 NO_2 、CO 日均值代替小时均值计算结果

Table 4 Calculation results of using 24 hours breakpoints to replace 1 hour breakpoints of SO₂, NO₂, CO

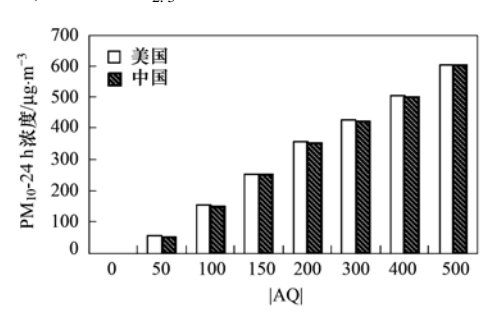
+14 米4- 25 47	级别	SO_2		NO	02	CO	
指数等级	级剂	小时均值	日均值	小时均值	日均值	小时均值	日均值
0 ~ 50	优	4 889	4 410	4 358	1 278	4 904	4 362
51 ~ 100	良	4	479	450	2 337	74	603
101 ~ 150	轻度污染		4	1	1 153	1	114
151 ~ 200	中度污染				1		
201 ~ 300	重度污染						
301 ~ 400 401 ~ 500	严重污染						

2.3 中美颗粒物浓度限值的科学性分析

由上述分析可见,在颗粒物成为首要污染物的情况下,颗粒物浓度限值是决定空气质量指数 (AQI)是否能客观反映实际的污染状况的关键因素. 美国颗粒物的分级浓度限值随着空气质量标准

的修订和相关健康风险评价以及美国空气质量实际情况的研究成果而不断更新且越来越严格^[21-27]. 与美国相比,中国颗粒物监测起步较晚,在制定空气质量指标和 AQI 技术规范时,PM₁₀和 PM_{2.5}分级浓度限值设定上主要参考的是美国的标准^[4]. 对比当

前中美两国 PM_{10} 和 $PM_{2.5}$ 浓度限值,图 1 给出了中美 $PM_{2.5}$ 和 PM_{10} 的分级浓度限值,可以看出,中国 PM_{10} 分级浓度限值与美国的分级完全一致;而在 IAQI < 200 时,中国 $PM_{2.5}$ 的分级浓度限值松于美



国,但在 IAQI > 200 的高浓度限值区域,中国与美国 PM_{2.5}的分级浓度限值完全一致. 由此可见,中美 PM_{2.5}的分级浓度限值的差别只是在 IAQI 小于 200 的情况下,即优、良、轻度和中度污染 4 种情况.

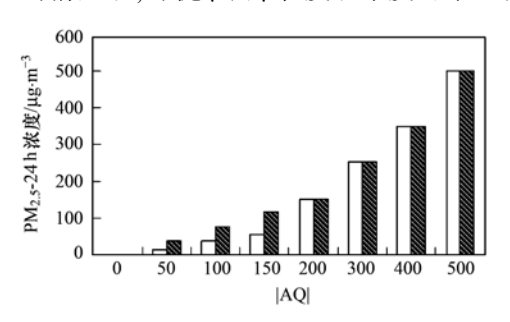


图 1 中美 PM₁₀和 PM_{2.5} AQI 分级浓度限值比较

Fig. 1 Comparison of PM_{10} and $PM_{2.5}$ breakpoints between China and America

表 5 给出的是中美两国 AQI 计算时使用的浓度限值及 $PM_{2.5}/PM_{10}$ 的比值情况,从中可以看出,当 AQI < 50 时,即空气质量为优时,美国 $PM_{2.5}/PM_{10}$ 浓度限值在 1999、2006 和 2012 年 3 个阶段 $PM_{2.5}/PM_{10}$ 的比值分别为 0. 30、0. 29 和 0. 22,呈递减趋势,反映出美国空气质量改善的实际;而中国 $PM_{2.5}/PM_{10}$ 浓度限值的比值为高达 0. 7,是美国的 2 ~ 3 倍;当 AQI < 200 时,中国 $PM_{2.5}/PM_{10}$ 的比值范围为 0. 43 ~ 0. 7,而美国 1999、2006 和 2012 年 $PM_{2.5}/PM_{10}$ 的比值范围分别为 0. 30 ~ 0. 43、0. 29 ~ 0. 42、0. 22 ~ 0. 42; AQI > 200 时,中国和美国不同年份的 $PM_{3.5}/PM_{10}$ 的 PM,5/

PM₁₀的比值一致.由此可见,AQI < 50 时,中国的 PM_{2.5}/PM₁₀浓度限值设置与实际情况存在较大的 差异.如上文所述,在空气质量为优的情况下,北京奥体中心监测数据显示 PM_{2.5}/PM₁₀为 0.46,远远小于《规范》中的 0.70; AQI < 200 时,美国 PM_{2.5}/PM₁₀比值越来越严格,而中国 PM_{2.5}的分级浓度限值松于美国.综上所述,中国目前的颗粒物分级浓度限值存在一定的修改空间,尚不能够有效地反映我国当前颗粒物污染实际水平,也满足不了环境管理的需求,急需开展相关的研究并对《规范》进行修改和完善,结合中国大气污染的特征完善颗粒物 AQI 计算方法.

表 5 中美 $PM_{2.5}/PM_{10}$ 浓度限值比值对比情况/ $\mu g \cdot m^{-3}$

Table 5 Comparison of ratios of $PM_{2.5}$ to PM_{10} breakpoints in China and America/ $\mu g \cdot m^{-3}$

	ф	国 ^[15] 2012	2 年 五 人	美国 ^[17~19]								
AQI	甲	国 2012	2 平王学		1999	年	2006 年			2012 年		
	PM ₁₀	PM _{2.5}	PM _{2.5} /PM ₁₀	PM_{10}	PM _{2.5}	PM _{2.5} /PM ₁₀	PM_{10}	PM _{2.5}	PM _{2.5} /PM ₁₀	PM_{10}	PM _{2.5}	PM _{2.5} /PM ₁₀
0	0	0	0	0	0	0	0	0	0	0	0	0
50	50	35	0.70	50	15	0.30	54	15. 4	0. 29	54	12	0. 22
100	150	75	0.50	150	65	0.43	154	40. 4	0. 26	154	35. 4	0. 23
150	250	115	0.46	250	100	0.40	254	65. 4	0. 26	254	55. 4	0. 22
200	350	150	0.43	350	150	0.43	354	150. 4	0.42	354	150. 4	0.42
300	420	250	0.60	420	250	0.60	424	250. 4	0. 59	424	250. 4	0. 59
400	500	350	0.70	500	350	0.70	504	350. 4	0.70	504	350. 4	0.70
500	600	500	0.83	600	500	0.83	604	500.4	0.83	604	500.4	0.83

3 典型案例分析

为了进一步阐述在不同空气质量情况下 $PM_{2.5}$ 在 PM_{10} 中的比例,分别选取 2013 年 4 月和 8 月北京 两次典型污染过程,详细分析不同污染等级下 $PM_{2.5}$ 与 PM_{10} 的比值(表 6),从表 6 可以看出,4 月 18 日和 25 日以及 8 月 9 日和 18 日,北京奥体中心空气

质量为优,对应的 $PM_{2.5}/PM_{10}$ 值分别为 0.32、0.33、0.48、0.43,均小于 0.5,这一结果与前文所述一致; 4 月 22 日和 23 日及 8 月 11 日空气质量为重度污染, $PM_{2.5}/PM_{10}$ 的比值均超过 0.80;良的情况下 $PM_{2.5}/PM_{10}$ 的比值变化范围较广. 总之,在空气质量为优的情况下 $PM_{2.5}$ 在 PM_{10} 中所占的比例一般小于 0.5;随着空气污染程度的加重, $PM_{2.5}$ 在 PM_{10} 中

表 6	北京典型污染日	PM _{2.5} /PM ₁₄	、浓度比值
4K U	北尔兴至门米口	FIVI2 5/ FIVI16	冰烬皮儿胆

Table 6	Ratio of Pl	M2 2/PM10	breakpoints	in typical	pollution	days of Beijing

典型过程	监测时间	发布的 AQI	AQI 类别	$PM_{2.5}/\mu g \cdot m^{-3}$	$PM_{10}/\mu g \cdot m^{-3}$	$\mathrm{PM}_{2.5}/\mathrm{PM}_{10}$
	2013-04-18	38	优	11. 09	41.77	0.32
	2013-04-19	78	良	52. 67	89. 63	0.64
	2013-04-20	93	良	69. 42	86. 32	0.83
	2013-04-21	170	中度	129. 00	161. 57	0.81
	2013-04-22	209	重度	164. 20	174. 05	0. 94
4 月	2013-04-23	228	重度	180. 26	199. 11	0. 92
4)1	2013-04-24	138	轻度	91. 96	124. 35	0. 52
	2013-04-25	38	优	11. 79	38. 67	0. 33
	2013-04-26	96	良	64. 82	138. 12	0.50
	2013-04-27	97	良	65. 65	130. 52	0.51
	2013-04-28	102	轻度	71. 42	118. 54	0.58
	2013-04-29	53	良	14. 82	62. 12	0. 27
	2013-08-09	44	优	20. 50	43. 75	0.48
	2013-08-10	139	轻度	99. 56	157. 38	0.60
	2013-08-11	204	重度	163. 73	198.00	0.84
	2013-08-12	69	良	49. 36	59. 91	0.84
8月	2013-08-13	114	轻度	85. 88	101. 94	0.88
0)1	2013-08-14	93	良	66. 75	90.00	0.73
	2013-08-15	158	中度	120. 75	144. 48	0.87
	2013-08-16	166	中度	127. 25	176. 37	0.81
	2013-08-17	74	良	43. 71	67. 95	0.45
	2013-08-18	39	优	12. 21	35. 14	0.43

所占比例也随之升高;重度污染时,甚至可超过0.90,说明PM,5是PM10中的主要成分.

通过上述案例分析发现,我国现行空气质量指数标准在 AQI < 200 时的颗粒物的分级浓度限值的设置上与实际情况有较大的差异. 特别是在空气质量指数为优(AQI < 50)时,标准中的 $PM_{2.5}/PM_{10}$ 高达 70%,这与实际情况存在严重不符,不能客观地反映我国空气污染的真实状况. 建议中国及时修正和调整颗粒物实时报的计算方法; 重新科学合理地确定 $PM_{2.5}$ 和 PM_{10} 分级浓度限值.

4 结论

- (1)中美 AQI 计算公式一致, AQI 标准分级、污染物项目、平均时间和浓度限值等依据各自环境空气质量标准而制定;在 PM_{2.5}和 PM₁₀空气质量分指数计算中,美国采用 NowCast 计算方法,该算法能够快速响应变化的空气质量状况;中国采用颗粒物 24 h 平均值代替 1 h 平均值计算 PM_{2.5}和 PM₁₀的空气质量分指数的做法会将污染等级严重化.
- (2)中国颗粒物浓度限值存在一定的问题,主要表现在 AQI < 200 时的中国 PM_{2.5} 24 h 平均浓度限值评定标准较宽松,由此导致 PM_{2.5}/PM₁₀比值出现与实际不符的现象;在空气质量优的情况下,即

当 AQI = 50 时, $PM_{2.5}/PM_{10}$ 比值为 0.7, 与实际情况不相符.

(3)北京奥体中心监测点数据分析结果表明, AQI < 50 时, $PM_{2.5}/PM_{10}$ 比值小于 0.5, 且 $PM_{2.5}/PM_{10}$ 的比值随着污染指数的增大而增大. 建议中国尽早修订和调整颗粒物实时报的浓度限值并完善其计算方法.

参考文献:

- [1] 丁俊男, 王帅, 赵熠琳, 等. 关于环境空气质量评价的一些 思考[J]. 环境监控与预警, 2012, **4**(5): 38-40.
- [2] Fang M, Chan C K, Yao X. Managing air quality in a rapidly developing nation: China[J]. Atmospheric Environment, 2009, 43(1): 79-86.
- [3] Cheng W L, Chen Y S, Zhang J F, et al. Comparison of the revised air quality index with the PSI and AQI indices [J]. Science of the Total Environment, 2007, 382(2-3): 191-198.
- [4] 王帅, 杜丽, 王瑞斌, 等. 国内外环境空气质量指数分析和 比较[J]. 中国环境监测, 2013, **29**(6): 58-65.
- [5] 陈谊, 施洁新, 张超. 建立空气质量综合评价指数的探讨 [J]. 环境监控与预警, 2012, **4**(1): 38-42.
- [6] 李锦菊, 沈亦钦. 中美两国环境空气质量标准比较[J]. 环境监测管理与技术, 2003, **15**(6): 24-26.
- [7] Li X F, Zhang M J, Wang S J, et al. Variation characteristics and influencing factors of air pollution index in China [J]. Environmental Science, 2012, 33(6): 1936-43.
- [8] Wang Y, Zhuang G S, Chen S, et al. Characteristics and

- sources of formic, acetic and oxalic acids in $PM_{2.5}$ and PM_{10} aerosols in Beijing, China[J]. Atmospheric Research, 2007, **84** (2): 169-181.
- [9] Ho K F, Lee S C, Chan C K, et al. Characterization of chemical species in PM_{2.5} and PM₁₀ aerosols in Hong Kong [J]. Atmospheric Environment, 2003, 37(1): 31-39.
- [10] Gu J X, Bai Z P, Liu A X, et al. Characterization of atmospheric organic carbon and element carbon of PM_{2.5} and PM₁₀ at Tianjin, China[J]. Aerosol and Air Quality Research, 2010, 10: 167-176.
- [11] 沈俊秀, 肖珊, 余琦, 等. 上海市道路环境 $PM_1 \setminus PM_{2.5}$ 和 PM_{10} 污染水平[J]. 环境化学, 2011, **30**(6): 1206-1207.
- [12] 黄鹂鸣, 王格慧, 王荟, 等. 南京市空气中颗粒物 PM₁₀、 PM_{2.5}污染水平[J]. 中国环境科学, 2002, **22**(4): 334-337.
- [13] 钟声, 丁铭, 夏文文. 国内外空气污染指数的现状及发展趋势[J]. 环境监控与预警, 2010, **2**(3): 35-38.
- [14] GB 3095-2012, 环境空气质量标准[S].
- [15] HJ 633-2012 环境空气质量指数(AQI)技术规定[S].
- [16] USEPA. Technical assistance document for the reporting of daily air quality-the air quality index (AQI)[EB/OL]. http://www.epa. gov/airnow/aqi-technical-assistance-document-sep2012.pdf, 2013-06-17.
- [17] USEPA. Uniform air quality index (AQI) and daily reporting [EB/OL]. http://www.gpo.gov/fdsys/granule/CFR-2013-title40-vol6/CFR-2013-title40-vol6-part58-appG/content-detail. html, 2013-08-14.
- [18] USEPA. Uniform air quality index (AQI) and daily reporting [EB/OL]. http://www.gpo.gov/fdsys/granule/CFR-2012-title40-vol6/CFR-2013-title40-vol6-part58-appG/content-detail. html, 2012-08-14.
- [19] 40 CFR Part 50, National ambient air quality standards

- (NAAOS)[S].
- [20] Zheng M, Salmon L G, Schauer J J, et al. Seasonal trends in PM_{2.5} source contributions in Beijing, China [J]. Atmospheric Environment, 2005, 39(22): 3967-3976.
- [21] Gauderman W J, Avol E, Gilliland F, et al. The effect of air pollution on lung development from 10 to 18 years of age [J]. The New England Journal of Medicine, 2004, 351(11): 1057-1067.
- [22] Kampa M, Castanas E. Human health effects of air pollution [J]. Environmental Pollution, 2008, 151(2): 362-367.
- [23] Seaton A, Godden D, MacNee W, et al. Particulate air pollution and acute health effects [J]. The Lancet, 1995, 345 (8943): 176-178.
- [24] Pope Ⅲ C A, Dockery D W. Health effects of fine particulate air pollution; lines that connect [J]. Journal of the Air & Waste Management Association, 2006, 56(6): 709-742.
- [25] Rosenthal F S, Kuisma M, Lanki T, et al. Association of ozone and particulate air pollution with out-of-hospital cardiac arrest in Helsinki, Finland: Evidence for two different etiologies [J]. Journal of Exposure Science and Environmental Epidemiology, 2013, 23(3): 281-288.
- [26] Kaufman J D, Adar S D, Allen R W, et al. Prospective study of particulate air pollution exposures, subclinical atherosclerosis, and clinical cardiovascular disease the multi-ethnic study of atherosclerosis and air pollution (MESA Air) [J]. American Journal of Epidemiology, 2012, 176(9); 825-837.
- [27] Adar S D, Sheppard L, Vedal S, et al. Fine particulate air pollution and the progression of carotid intima-medial thickness: a prospective cohort study from the multi-ethnic study of atherosclerosis and air pollution [J]. PLoS Medicine, 2013, 10 (4): e1001430.

HUANJING KEXUE

Environmental Science (monthly)

Vol. 36 No. 4 Apr. 15, 2015

CONTENTS

CONTENTS	
Comparative Analysis and Inspiration of Air Quality Index Between China and America	GAO Qing-xian, LIU Jun-rong, LI Wen-tao, et al. (1141)
Regional Source Apportionment of PM _{2.5} in Beijing in January 2013 ·····	
Formation Mechanism of a Serious Pollution Event in January 2013 in Beijing	
Soluble of Metals within TSP in Shanghai	
Analysis of Component Spectral Characteristics of PM ₁₀ -Bound PAHs and the Influence of Weather Conditions During Spring in Xi	
Tracing Sources of Sulfate Aerosol in Nanjing Northern Suburb Using Sulfur and Oxygen Isotopes	
Analysis of an Air Pollution Process Using LiDAR in Nanjing, Spring of 2014	
Characteristics of Water-soluble Inorganic Ions in PM _{2,5} and PM _{2,5-10} in Mountain Background Region of East China in Spring ··	
Emission of Particulate Matter, Organic and Elemental Carbon from Burning of Fallen Leaves	
Emission Inventory of Crop Residues Field Burning and Its Temporal and Spatial Distribution in Sichuan Province	
Marine Emission Inventory and Its Temporal and Spatial Characteristics in the City of Shenzhen	
Characteristic of Ultrafine Particles Transferring Through Building Envelopes	
Airborne Fungal Aerosol Concentration and Distribution Characteristics in Air-Conditioned Wards	
Effect of Below-cloud Secondary Evaporation in Precipitations over the Loess Plateau Based on the Stable Isotopes of Hydrogen and	d Uxygen
Effect of the Runoff-sediment Control of the Xiaolangdi Reservoir on DOC Transport	THANG Vang ling WANG Ming ski DONG Vuleng (1241)
Effects of Long-term Implementation of the Flow-Sediment Regulation Scheme on Grain and Clay Compositions of Inshore Sediment	
Enecus of Eong-term imperimentation of the From-Secument regulation Scheme on Oran and Clay Compositions of historic Secument	WANG Miso-miso SUN Thi-gap III Xiso-ning et al. (1256)
Influences of Biological Processes on Geochemical Characteristics: An Example of a Mountain Karst Pool in Spring Season	
Variation Characteristics and Sources of Heavy Metals in an Urban Karst Groundwater System during Rainfall Event	
Risk Assessment of Trihalomethane Production Using the Beijiang River and the Pearl River, Guangzhou as Drinking Water Source	
Spatial Variability Characteristics of Water Quality and Its Driving Forces in Honghu Lake During High Water-level Period	
Nutrient Exchange Between Meixi River and Yangtze River Due to the Typical Interaction Process of the Three Gorges Reservoir at	
Truthelic Exchange Detreet inch favor and Tangaz title Due to the Typical included in Process of the Title Origos Reservoir at	
Effects of Nutrient Inputs on Changes of Phosphorus Forms and Phytoplankton Growth in Taihu Lake	
Community Dynamics of Phytoplankton and Related Affecting Factors in a Eutrophicated Small Pond	
Yearly Changes of Phytoplankton Community in the Ecology-monitoring Area of Changli, Hebei in Summer	
Improvement of River Water Quality by Aeration; WASP Model Study	
Radiolytic Decomposition of Ciprofloxacin Hydrochloride in Aqueous Solution Using γ Irradiation	
Removal of Antimony in Wastewater by Electrochemical Hydride Generation and the Recovery of Antimony	
Degradation of m-Cresol with Fe-MCM-41 in Catalytic Ozonation	
Bioanode and Inversion of Bioanode to Biocathode for the Degradation of Antibiotic Chloramphenicol	
Photolysis of Gaseous HNO ₃ on the α-Fe ₂ O ₃ Films Under 308 nm UV Light	
Simultaneous Determination of Hydroguinone and Catechol Based on L-Histidine-Erythrosine Composite Film Modified Glassy Carb	bon Electrode ·····
Salara	HE lia-hong, XU Oiang, DING Wu-quan, et al. (1365)
Preparation and Characterization of Quinone Functional Polymer Biocarrier (PET-AQS) for Biodenitrification Catalysis	
Kinetic Characteristics of Degradation of Geosmin and 2-Methylisoborneol by Bacillus subtilis	
Screening of a Highly Efficient Quinoline-degrading Strain and Its Enhanced Biotreatment on Coking Waste Water	
Effect of Ferric Iron on Nitrogen Immigration and Transformation and Nitrous Oxide Emission During Simultaneous Nitrification De	enitrification Process ·····
	LI Hao, YAN Yu-jie, XIE Hui-jun, et al. (1392)
Running Condition and Bacterial Community Associated with the Partial Nitritation System	······· ZHAO Zhi-rui, JIAO Hai-hua, CUI Bing-jian, et al. (1399)
Using Excess Activated Sludge Treated 4-Chlorophenol Contained Waste Water to Cultivate Chlorella vulgaris	WANG Lu, CHEN Xiu-rong, YAN Long, et al. (1406)
Effects of Total Nitrogen and BOD ₅ /TN on Anaerobic Ammonium Oxidation-Denitrification Synergistic Interaction of Mature Landfi	fill Leachate in Aged Refuse Bioreactor
	············· YANG Ying-ying, CHEN Yi, LI Ming-jie, et al. (1412)
Altitudinal Gradient Distribution and Source Analysis of PAHs Content of Topsoil in Jinfo Mountain, Chongqing	SHI Yang, SUN Yu-chuan, LIANG Zuo-bing, et al. (1417)
Characteristics and Inputs of Cd Contamination in Paddy Soils in Typical Mining and Industrial Areas in Youxian County, Hunan I	Province
77	
Effects of Canalization on the Iron Deposition in Sanjiang Plain	
Effects of Phosphate and Zeolite on the Transformation of Cd Speciation in Soil	
Leaching Remediation of Copper and Lead Contaminated Lou Soil by Saponin Under Different Conditions	
Accumulation Characteristics and Evaluation of Heavy Metals in Soil-Crop System Affected by Wastewater Irrigation Around a Cher	emical Factory in Shenmu County ·····
Effects of Organic and Inorganic Slow-Release Compound Fertilizer on Different Soils Microbial Community Structure	
	CHENC Hai kuan ZHANC Bigg HNC Vin vin at al. (1468)
Effect of Boron-antimony Interaction on the Uptake and Accumulation of Antimony and Boron by Rice Seedling	XIANG Meng, HUANG Yi-zong, CAI Li-qun, et al. (1474)
Effect of Boron-antimony Interaction on the Uptake and Accumulation of Antimony and Boron by Rice Seedling Effects of Arbuscular Mycorrhizal Fungi on the Growth of Reeds in Wetland Soils with Different Salt Content	XIANG Meng, HUANG Yi-zong, CAI Li-qun, et al. (1474) GUO Jiang-yuan, GUO Wei, BI Na, et al. (1481)
Effect of Boron-antimony Interaction on the Uptake and Accumulation of Antimony and Boron by Rice Seedling Effects of Arbuscular Mycorrhizal Fungi on the Growth of Reeds in Wetland Soils with Different Salt Content A Contrastive Study on Salt-alkaline Resistance and Removal Efficiency of Nitrogen and Phosphorus by Phragmites australis and Ty	XIANG Meng, HUANG Yi-zong, CAI Li-qun, et al. (1474)
Response of Maize to Lead Stress and Relevant Chemical Forms of Lead Effect of Boron-antimony Interaction on the Uptake and Accumulation of Antimony and Boron by Rice Seedling Effects of Arbuscular Mycorrhizal Fungi on the Growth of Reeds in Wetland Soils with Different Salt Content A Contrastive Study on Salt-alkaline Resistance and Removal Efficiency of Nitrogen and Phosphorus by Phragmites australis and Ty	XIANG Meng, HUANG Yi-zong, CAI Li-qun, et al. (1474)
Effect of Boron-antimony Interaction on the Uptake and Accumulation of Antimony and Boron by Rice Seedling Effects of Arbuscular Mycorrhizal Fungi on the Growth of Reeds in Wetland Soils with Different Salt Content A Contrastive Study on Salt-alkaline Resistance and Removal Efficiency of Nitrogen and Phosphorus by Phragmites australis and Ty	XIANG Meng, HUANG Yi-zong, CAI Li-qun, et al. (1474)
Effect of Boron-antimony Interaction on the Uptake and Accumulation of Antimony and Boron by Rice Seedling Effects of Arbuscular Mycorrhizal Fungi on the Growth of Reeds in Wetland Soils with Different Salt Content A Contrastive Study on Salt-alkaline Resistance and Removal Efficiency of Nitrogen and Phosphorus by Phragmites australis and Ty	XIANG Meng, HUANG Yi-zong, CAI Li-qun, et al. (1474)

《环境科学》第6届编辑委员会

主 编:欧阳自远

副主编:赵景柱 郝吉明 田 刚

编 委:(按姓氏笔画排序)

万国江 王华聪 王凯军 王绪绪 田 刚 田 静 史培军

朱永官 刘志培 汤鸿霄 陈吉宁 孟 伟 周宗灿 林金明

欧阳自远 赵景柱 姜 林 郝郑平 郝吉明 聂永丰 黄 霞

黄耀 鲍强潘纲潘涛魏复盛

环维种草

(HUANJING KEXUE)

(月刊 1976年8月创刊)

2015年4月15日 第36卷 第4期

ENVIRONMENTAL SCIENCE

(Monthly Started in 1976)

Vol. 36 No. 4 Apr. 15, 2015

		1 : 74 11			
主	管	中国科学院	Superintended	by	Chinese Academy of Sciences
主	办	中国科学院生态环境研究中心	Sponsored	by	Research Center for Eco-Environmental Sciences, Chinese
协	办	(以参加先后为序)			Academy of Sciences
		北京市环境保护科学研究院	Co-Sponsored	by	Beijing Municipal Research Institute of Environmental
		清华大学环境学院			Protection
主	编	欧阳自远			School of Environment, Tsinghua University
编	辑	《环境科学》编辑委员会	Editor-in -Chief	•	OUYANG Zi-yuan
>m	7-4	北京市 2871 信箱(海淀区双清路	Edited	by	The Editorial Board of Environmental Science (HUANJING
		18号,邮政编码:100085)			KEXUE)
		电话:010-62941102,010-62849343			P. O. Box 2871, Beijing 100085, China
		传真:010-62849343			Tel:010-62941102,010-62849343; Fax:010-62849343
		E-mail; hjkx@ reees. ac. cn			E-mail; hjkx@ rcees. ac. cn
		http://www.hjkx.ac.cn			http://www.hjkx.ac.cn
出	版	4 学业版社	Published	by	Science Press
-	742	北京东黄城根北街 16 号			16 Donghuangchenggen North Street,
		邮政编码:100717			Beijing 100717, China
印刷装	も订	北京北林印刷厂	Printed	by	Beijing Bei Lin Printing House
发	行	斜华出版社	Distributed	by	Science Press
		电话:010-64017032			Tel:010-64017032
		E-mail:journal@mail.sciencep.com			E-mail: journal@ mail. sciencep. com
订 购	处	全国各地邮电局	Domestic		All Local Post Offices in China
国外总统	发行	中国国际图书贸易总公司	Foreign		China International Book Trading Corporation (Guoji
		(北京 399 信箱)			Shudian), P. O. Box 399, Beijing 100044, China

中国标准刊号: ISSN 0250-3301 CN 11-1895/X

国内邮发代号: 2-821

国内定价:120.00元

国外发行代号: M 205

国内外公开发行